

8651
WLC

1952

梁橋立體計祿向題

B. E. 烏里茨基著

黃潤韶譯

人民交通出版社

本書敘述了肋形結構与管形結構作为空間体系的計算方法，用这一方法能簡易地求出結構各部分的应力与变形。在桥梁建筑、工业与民用建筑、船舶建造以及其他工程中都能遇到上述类似的結構。

鋼筋混凝土桥梁上部构造与鋼梁及鋼筋混凝土板联合工作的結構，实际上也是采用本書的方法來進行計算的。

梁桥立体計算問題

Б. Е. УЛИЦКИЙ

ВОПРОСЫ

ПРОСТРАНСТВЕННОГО

РАСЧЕТА

БАЛОЧНЫХ МОСТОВ

АВТОТРАНСИЗДАТ МОСКВА 1956

本書根据苏联汽車运输与公路部出版社1956年莫斯科俄文版本譯出

黃潤韶譯

人民交通出版社出版

(北京定安門外和平里)

北京市書刊出版業營業許可証出字第〇〇六号

新華书店發行

人民交通出版社印刷厂印刷

1957年11月北京第一版 1960年5月北京第2次印刷

开本：850×1168^{1/2} 印張：14張

全書：68,000字 印数：1301—2300冊

統一書号：15044·1217-京

定价(10)：0.30元

目 录

序 言

計算理論	4
肋形結構的計算	4
管形結構的計算	20
肋形結構的計算例	23
例 1	23
例 2	30
例 3	33
例 4	37
桥梁上部構造結構的計算例	39
例 5	41
例 6	52
結論和推荐	58
附录 函数数值表	

序 言

钢筋混凝土桥梁以及同钢筋混凝土板联合而起共同作用的钢梁①桥的上部构造有板式的、盒形的或箱形的。在设计实践中，对于这些结构的计算是极为近似的，没有充分考虑到结构的立体工作，这就使结构加重，因而造成材料的浪费。文献中有更为精确的计算方法，但由于这些方法过于复杂，没有得到普遍的推广。

建设事业采取了使用钢筋混凝土结构的方针，引起了盒形结构和箱形结构的普遍推广。如用更加完善的计算方法来设计这些结构，就可以节省建筑材料，并扩大钢筋混凝土的应用范围。

盒形结构和箱形结构的计算由二个阶段组成：

1. 求算所研究的梁内的弯矩和剪力，考虑到由于有隔膜或横梁而荷载在横向的分布。

2. 求算由于梁内弯矩和剪力作用所产生的应力和变形。

在桥梁计算中，荷载的横向分布，用“杠杆”法和“偏心受压”等方法求出。近年来，公路桥上部构造各梁间的荷载分布，常用技术科学硕士B.G.顿钦科②所制订的更为完善的方法来计算。

求算由于梁内弯矩和剪力作用而产生的应力和变形，是用非常原始的方法进行的。

在桥梁构造物设计实践中，通常将肋形结构分解成独立的丁字梁，每个丁字梁中含有一根肋和同它紧接的板段。在公路人工构造物设计规范中指示，如在梁的受压区有板，则这板的一部分可加入丁形截面的组成部分中去，其宽度为在肋轴的每边不得超过：梁轴间距的 $\frac{1}{2}$ 或肋形梁本身计算跨径的 $\frac{1}{4}$ 。梁翼自由悬出长度不应超出板厚度的6倍，承托厚度不计在内。如板连承托在内的厚度小于梁全部高度的 $\frac{1}{10}$ ，则在计算中根本不考虑板的作用③。

① 钢梁同钢筋混凝土板为了共同工作而联合在一起的结构，以下简称联合结构。

(用这种结构的桥称联合桥梁——译者)。

② B.G.顿钦科。公路梁桥的立体计算。道路出版社，1953年。(中译本人民交通出版社1954年出版——译者)。

③ “公路钢筋混凝土、金属、混烧土和石砌人工构造物设计规范”。道路出版社，1948年。

事实上，板参加結構工作的性質和程度，除与跨徑長度、板的厚度和肋与肋之間的距离有关外，还同一系列其他因素有关。其中最重要的是：結構的靜力图（不連續的，連續的，悬臂的），荷載种类和位置，肋的总数，以及計算截面的位置。

有許多苏联和外国專家們的專談如何求算肋形結構中板的“有效”寬度問題的科学報告；其中可以指出卡尔曼、密哲尔、巴浦郭維奇等的著作。在这些著作中，板的“有效”寬度的研究都是为个别情况而进行的，主要是为單肋梁（丁字梁）。由于最后結果过于复杂，这些著作难以实地应用。

本書基本上也是專談板參加肋的工作的問題。但这里研究的并不是从多肋式結構中分割出来的一根隔离的肋連同緊接着的板段的工作，而是全部肋和板成为一个总体的工作，这样更正確地反映結構的真实工作。

必須指出，隔膜对于板參加肋工作的程度的影响是极微的。但如在第二阶段計算中考慮有隔膜的話，將使計算大为复杂。因此，在本書中当確定板參加肋工作的程度时，隔膜不加入計算，而計算图成为肋形結構或管形結構，这种結構由仅用板連結在一起的主梁構成。

所述肋形結構和管形結構的計算方法，能使考慮到結構成為空間体系來工作的特点。这个方法十分簡單，已推演到便于在設計實踐中使用的阶段，并用具体例子說明。附录內提供一些計算上用到的輔助資料——相当于双曲线函数的数值表。

計算理論

肋形結構的計算

當計算由一排平行梁（其上復有與梁剛性連結的蓋板）所組成的結構（图 1, a）時，要分別：

a) 按施于肋上面的力的作用計算；

b) 按施于肋間板上面的局部荷載計算。

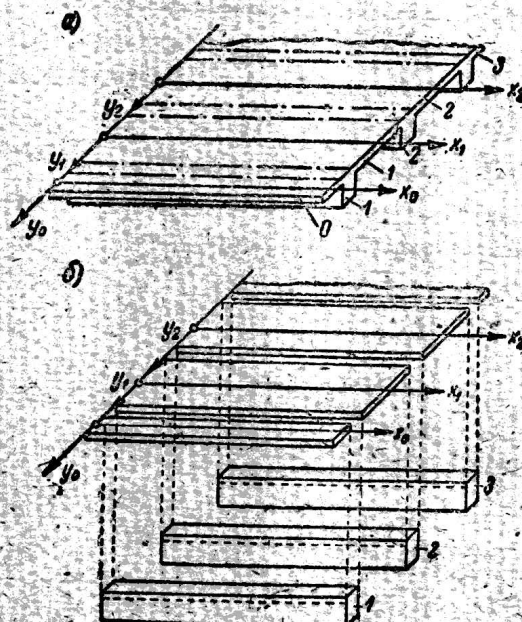


圖 1 多肋式結構

a—概示圖；b—計算示意圖

本章中將根據外力加在肋上面時所起的作用來討論結構的計算。
計算的實質如下。

用與肋的側面重合的豎向平面將結構分割成一系列肋和矩形板（图 1,

如板有承托，則在板上承托开始处切开，承托作为肋的组成部分。在切割处的两个鄰接面上施加方向相反的切向力和法向力。考慮到在桥梁結構中板的厚度要比肋的高度小得多，而外來荷載是直接施于肋上的，所以板內的弯矩和剪力可以不計。

在切割面兩邊鄰接面上，板的纖維与肋的纖維的縱向变形和水平向曲率都是相等的。根据这种板和肋的纖維变形相等的条件可以編列若干方程式，由这些方程式就可求算切割面上切向力和法向力的值。纖維的变形概以板厚度一半处作为研討的标准。

肋纖維的变形是通过与各該肋有关的外來荷載、切向力和法向力来表示的。考慮到在桥梁結構中肋的尺寸的比例（肋的高度远比它的長度为小），这些变形可按照材料力学中所述的方法算出，不致发生大的誤差。

板纖維的变形是通过相当的切向力和法向力来表示的。当板的寬度与它的長度比較起来显得很大时，为了避免大的誤差起見，板的变形必須計算得較為精確——用彈性理論的方法。

我們采用下列符号：

N 和 M —由于外來荷載作用，在肋內产生的法向力和弯矩；

F —肋的横截面面积；

I^x 和 I^y —相对于截面的水平向和豎向中和軸的肋截面慣性矩；

b^p —肋的寬度；

b^m —板的寬度（兩肋之間）；

l —板（肋）的長度；

δ —板的厚度；

a —从肋截面中和軸到板厚度一半处的距离；

α —考慮切向应力在板的縱向側面上沿厚度方向分布不均匀而采用的系数；

E_p —肋的彈性模量；

E_m —板的彈性模量；

μ —板的波柔系数；

$\tau(x)$ —表示切向应力沿板縱向側面分布特性的函数；

$p(x)$ —表示法向应力沿板縱向側面分布特性的函数。

坐标軸宜按图 1 所示那样布置。每一板和肋有各自的坐标軸：横坐标軸与板和肋的縱軸重合，縱坐标軸則通过結構的支承截面。板和肋各自分別依次編号。

我們現在來求離坐标原點距離 x 处任意截面中肋纖維的縱向變形。所有變形都以板厚度一半處作為計算依據。

由外來荷載所產生的拉伸(或壓縮)而造成的變形為 $\frac{N}{F E_p}$ 。

由外來荷載所產生的豎向平面內彎曲而造成的變形為 $\frac{M a}{I^B E_p}$ 。

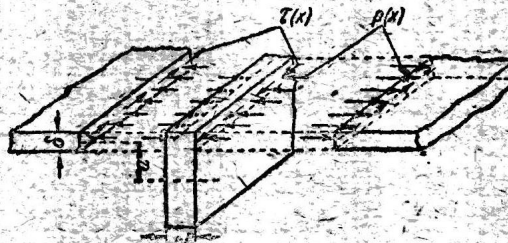


圖 2 作用在板與肋之間的力的分布示意圖

施于切割面上的切向力和法向力对于肋的作用可从图2看出。在切向力的影响下，肋内出現法向应力以及在豎向平面和水平面內的彎矩。在法向力的影响下，肋内出現水平面內的彎矩，并发生扭矩。

切割面上切向力和法向力的方向是先行假定的。

因切向力而在肋中产生的拉伸所造成的變形为：

$$\frac{\theta}{F E_p} \int_0^x \tau(x) dx;$$

因切向力而产生的豎向平面內彎矩所造成的變形为：

$$\frac{k b a^2}{I^B E_p} \int_0^x \tau(x) dx;$$

因切向力而产生的水平面內彎矩所造成的變形为：

$$\frac{b b^2}{4 I^C E_p} \int_0^x \tau(x) dx;$$

因法向力而产生的水平面內彎矩所造成的變形為：

$$\frac{\delta b p}{2I^r E_p} \left[x \int_0^x p(x) dx - \int_0^x x p(x) dx \right] \quad (1)$$

外力和肋截面尺寸可能沿着跨徑長度內是變量。如果這樣，則這些量應以 x 的函數來表示，并放入積分符號以內。

第 i 號肋與第 i 號板接合面上的纖維縱向總變形為：

$$\begin{aligned} \Delta_{i,i} = & \frac{M_i \alpha_i}{I_i^r E_p} - \frac{M_i \alpha_i}{I_i^r E_p} + \frac{\delta_{i-1}}{F_i E_p} \int_0^x \tau_{i,i-1}(x) dx + \\ & + \frac{\delta_i}{F_i E_p} \int_0^x \tau_{i,i}(x) dx + - \frac{k_i \delta_{i-1} a_i^2}{I_i^r E_p} \int_0^x \tau_{i,i-1}(x) dx + \\ & + \frac{k_i \delta_i a_i^2}{I_i^r E_p} \int_0^x \tau_{i,i}(x) dx - \frac{\delta_{i-1} b_i^2}{4F_i E_p} \int_0^x \tau_{i,i-1}(x) dx + \\ & + \frac{\delta_i b_i^2}{4F_i E_p} \int_0^x \tau_{i,i}(x) dx + \frac{\delta_{i-1} b_i^2}{2F_i E_p} \left[x \int_0^x p_{i,i-1}(x) dx - \right. \\ & \left. - \int_0^x x p_{i,i-1}(x) dx \right] - \frac{\delta_i b_i^2}{2F_i E_p} \left[x \int_0^x p_{i,i}(x) dx - \right. \\ & \left. - \int_0^x x p_{i,i}(x) dx \right]. \end{aligned}$$

字母上的附標代表肋和板的號數；雙重附標說明所討論的截面位於那個肋和那個板之間。

(1) 原文為 $\frac{\delta b p}{2E_p} \left[x \int_0^x p(x) dx - \int_0^x x p(x) dx \right]$ —譯者。

由于水平面内弯矩作用而使纤维产生的曲率从下面条件求出

$$\frac{1}{\rho} = \frac{M(1)}{E\rho I^r}.$$

因水平面内弯曲所致的曲率：

由于切向力者为

$$-\frac{\delta b\rho}{2I^r E_p} \int_0^x \tau(x) dx;$$

由于法向力者为

$$-\frac{\delta}{I^r E_p} \left[x \int_0^x p(x) dx - \int_0^x xp(x) dx \right].$$

除此以外，由于肋受到扭轉，將产生一点附加的扭曲。在肋形結構中，这种附加扭曲比起由弯矩所引起的基本变形来是微不足道的，因此可以不計。計算管形結構時，由于肋的扭轉所引起的附加扭曲必須考慮在內。

第*i*号肋纖維在水平面內的計算曲率为：

$$\begin{aligned} \frac{1}{\rho_{i,i-1}} &= \frac{1}{\rho_{i,i}} - \frac{\delta_{i-1} b_i^2}{2I_i^r E_p} \int_0^x \tau_{i,i-1}(x) dx + \frac{\delta_i b_i^2}{2I_i^r E_p} \int_0^x \tau_{i,i}(x) dx + \\ &+ \frac{\delta_{i-1}}{I_i^r E_p} \left[x \int_0^x p_{i,i-1}(x) dx - \int_0^x xp_{i,i-1}(x) dx \right] - \\ &- \frac{\delta_i}{I_i^r E_p} \left[x \int_0^x p_{i,i}(x) dx - \int_0^x xp_{i,i}(x) dx \right]. \end{aligned}$$

凸向右方的曲率作为正值。

由于切向力 $\tau(x) \cdot \delta$ 和法向力 $p(x) \cdot \delta$ 的作用所致的板的縱向側面的变形用发龙氏解法求出，这一方法在П.Ф.巴浦郭維奇教授的著作內获得了发展。

① 原文为 $\frac{M}{E\rho I^r}$ 应该为 $\frac{M}{I^r E_p}$ —譯者。

板的縱向側面上切向力和法向力用三角級數表示:

$$\delta \tau(x) = \delta \sum_{n=1}^{\infty} \gamma \cos \frac{n\pi x}{l},$$

$$\delta p(x) = \delta \sum_{n=1}^{\infty} \beta \sin \frac{n\pi x}{l},$$

式中: $\gamma = \frac{2}{l} \int_0^l \tau(x) \cos \frac{n\pi x}{l} dx,$

$$\beta = \frac{2}{l} \int_0^l p(x) \sin \frac{n\pi x}{l} dx.$$

同时板內应力用下列各式表示:

1. 在縱向側面上所加荷載為與 x 軸成對稱的情形:

a) 由於切向力 $\tau(x)$ · δ 所引起者(圖3, 見第12頁)

$$X_x = \sum_{n=1}^{\infty} \gamma \theta(n, y) \sin \frac{n\pi x}{l},$$

$$Y_y = \sum_{n=1}^{\infty} \gamma \varphi(n, y) \sin \frac{n\pi x}{l},$$

$$X_y = - \sum_{n=1}^{\infty} \gamma \chi(n, y) \cos \frac{n\pi x}{l},$$

式中:

$$\theta(n, y) = \frac{(4 \operatorname{ch} u_n - 2 u_n \operatorname{sh} u_n) \operatorname{ch} \frac{n\pi y}{l} + 2 \frac{n\pi y}{l} \operatorname{sh} \frac{n\pi y}{l} \operatorname{ch} u_n}{\operatorname{sh} 2u_n + 2u_n}$$

$$\varphi(n, y) = \frac{2u_n \operatorname{ch} \frac{n\pi y}{l} \operatorname{sh} u_n - 2 \frac{n\pi y}{l} \operatorname{sh} \frac{n\pi y}{l} \operatorname{ch} u_n}{\operatorname{sh} 2u_n + 2u_n},$$

$$\chi(n, y) = \frac{2 \frac{n\pi y}{l} \operatorname{ch} \frac{n\pi y}{l} \operatorname{ch} u_n + (2 \operatorname{ch} u_n - 2u_n \operatorname{sh} u_n) \operatorname{sh} \frac{n\pi y}{l}}{\operatorname{sh} 2u_n + 2u_n},$$

$$u_n = \frac{n\pi b^{1/2}}{2l};$$

6) 由于法向力 $p(x) \cdot \delta$ 所引起者(图 3, 6)

$$X_x = \sum_{n=1}^{\infty} \beta \eta(n, y) \sin \frac{n\pi x}{l},$$

$$Y_y = \sum_{n=1}^{\infty} \beta \psi(n, y) \sin \frac{n\pi x}{l},$$

$$X_y = - \sum_{n=1}^{\infty} \beta \xi(n, y) \cos \frac{n\pi x}{l},$$

式中:

$$\eta(n, y) = \frac{(2 \operatorname{sh} u_n - 2u_n \operatorname{ch} u_n) \operatorname{ch} \frac{n\pi y}{l} + 2 \frac{n\pi y}{l} \operatorname{sh} \frac{n\pi y}{l} \operatorname{sh} u_n}{\operatorname{sh} 2u_n + 2u_n},$$

$$\psi(n, y) = \frac{(2 \operatorname{sh} u_n + 2u_n \operatorname{ch} u_n) \operatorname{ch} \frac{n\pi y}{l} - 2 \frac{n\pi y}{l} \operatorname{sh} \frac{n\pi y}{l} \operatorname{sh} u_n}{\operatorname{sh} 2u_n + 2u_n},$$

$$\xi(n, y) = \frac{2 \frac{n\pi y}{l} \operatorname{ch} \frac{n\pi y}{l} \operatorname{sh} u_n - 2u_n \operatorname{ch} u_n \operatorname{sh} \frac{n\pi y}{l}}{\operatorname{sh} 2u_n + 2u_n}.$$

2. 在横向侧面上所加荷载为与 x 轴成逆对称的情形:

a) 由于切向力 $\tau(x) \cdot \delta$ 所引起者(图 4, a 见第 12 页)

$$X_x = \sum_{n=1}^{\infty} \bar{\gamma} \theta(n, y) \sin \frac{n\pi x}{l},$$

$$Y_y = \sum_{n=1}^{\infty} \bar{\gamma} \varphi(n, y) \sin \frac{n\pi x}{l},$$

$$X_y = - \sum_{n=1}^{\infty} \bar{\gamma} \chi(n, y) \cos \frac{n\pi x}{l},$$

式中：

$$\bar{\theta}(n, y) = \frac{(4 \sinh u_n - 2u_n \cosh u_n) \sinh \frac{n\pi y}{l} + 2 \frac{n\pi y}{l} \cosh \frac{n\pi y}{l} \sinh u_n}{\sinh 2u_n - 2u_n}$$

$$\bar{\varphi}(n, y) = \frac{2u_n \cosh u_n \sinh \frac{n\pi y}{l} - 2 \frac{n\pi y}{l} \cosh \frac{n\pi y}{l} \sinh u_n}{\sinh 2u_n - 2u_n}$$

$$\bar{x}(n, y) = \frac{(2 \sinh u_n - 2u_n \cosh u_n) \cosh \frac{n\pi y}{l} + 2 \frac{n\pi y}{l} \sinh \frac{n\pi y}{l} \sinh u_n}{\sinh 2u_n - 2u_n}$$

6) 由于法向力 $p(x) \cdot \delta$ 所引起者(图 4, 6)

$$X_x = \sum_{n=1}^{\infty} \bar{\beta} \bar{\eta}(n, y) \sin \frac{n\pi x}{l},$$

$$Y_y = \sum_{n=1}^{\infty} \bar{\beta} \bar{\psi}(n, y) \sin \frac{n\pi x}{l},$$

$$X_y = - \sum_{n=1}^{\infty} \bar{\beta} \bar{\xi}(n, y) \cos \frac{n\pi x}{l},$$

式中：

$$\bar{\eta}(n, y) = \frac{(2 \cosh u_n - 2u_n \sinh u_n) \sinh \frac{n\pi y}{l} + 2 \frac{n\pi y}{l} \cosh \frac{n\pi y}{l} \sinh u_n}{\sinh 2u_n - 2u_n}$$

$$\bar{\psi}(n, y) = \frac{(2 \cosh u_n + 2u_n \sinh u_n) \sinh \frac{n\pi y}{l} - 2 \frac{n\pi y}{l} \cosh \frac{n\pi y}{l} \sinh u_n}{\sinh 2u_n - 2u_n}$$

$$\bar{\xi}(n, y) = \frac{2 \frac{n\pi y}{l} \sinh \frac{n\pi y}{l} \cosh u_n - 2u_n \sinh u_n \cosh \frac{n\pi y}{l}}{\sinh 2u_n - 2u_n} \quad (1)$$

$$u_n = \frac{n\pi b^{nn}}{2!}$$

(1) 由于板的侧面上施加了切向力和法向力，板内即产生应力。计算这些应力的公式的导出过程，载在П.Ф.巴甫列维奇教授所著“弹性理论”内。国家国防工业出版社，1939年。

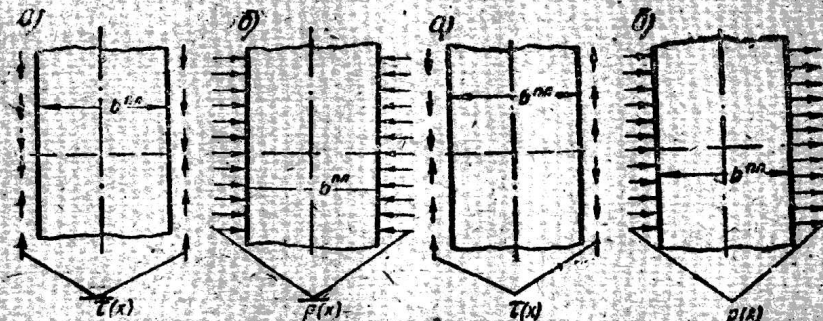


圖 3 板的縱向側面上的對稱荷載：

- a—由於切向力 $\tau(x) = \delta$;
- b—由於法向力 $p(x) = \delta$

圖 4 板的縱向側面上的逆對稱荷載：

- a—由於切向力 $\bar{\tau}(x) = \delta$;
- b—由於法向力 $\bar{p}(x) = \delta$

板的兩個相反的側面上如受到不对称荷载或单边荷载时，可用对称和逆对称荷载的组合来代替。

我們采取对称力与逆对称力的方向在肋的右边是相符的，在肋的左边是相反的（图 5）。

上面所列各公式适合于板的受荷载的侧面上的边界条件，并要求与受载面垂直的侧面上没有法向应力而有切向应力。在桥梁结构中，板的两端虽有横隔膜，但这种隔膜在水平方向是相当柔弱的，所以上面这些边界条件是接近于真实情况的。如果要更为严格地适合板的不受荷载的侧面上的边界条件，对于计算结果影响不大，但却大大增加计算的复杂程度。

第4号板受荷载的侧面上位于厚度中部的纤维纵向变形，通过板内应力、板的弹性模量和波桑系数来表示：

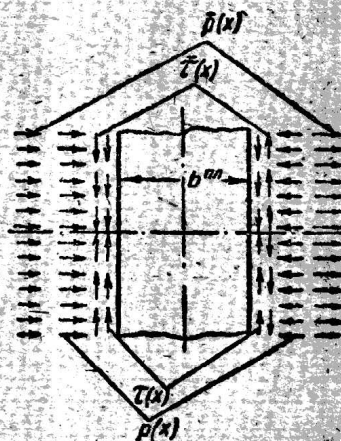


圖 5 作用在板的側面上的力的假定方向

$$\Delta_{i,i} = \epsilon_{xx} = -\frac{1}{E_{nn}}(X_x - \mu Y_y)$$

$$\begin{aligned}\Delta_{i,i} &= -\frac{1}{E_{nn}} \left[\sum_{n=1}^{\infty} \gamma_{i,i} \theta_i \left(n, \frac{b^{nn}}{2} \right) \sin \frac{n\pi x}{l} + \right. \\ &+ \sum_{n=1}^{\infty} \bar{\gamma}_{i,i} \bar{\theta}_i \left(n, \frac{b^{nn}}{2} \right) \sin \frac{n\pi x}{l} + \sum_{n=1}^{\infty} \beta_{i,i} \eta_i \left(n, \frac{b^{nn}}{2} \right) \sin \frac{n\pi x}{l} + \\ &+ \sum_{n=1}^{\infty} \bar{\beta}_{i,i} \bar{\eta}_i \left(n, \frac{b^{nn}}{2} \right) \sin \frac{n\pi x}{l} - \mu \sum_{n=1}^{\infty} \beta_{i,i} \sin \frac{n\pi x}{l} - \\ &\quad \left. - \mu \sum_{n=1}^{\infty} \bar{\beta}_{i,i} \sin \frac{n\pi x}{l} \right].\end{aligned}$$

同上纖維在水平面內的曲率可通過板內應力的導數來表示：

$$\frac{1}{\rho} = \frac{\partial \epsilon_{xx}}{\partial y} = \frac{1}{E_{nn}} \left(\frac{\partial X_x}{\partial y} - \mu \frac{\partial Y_y}{\partial y} \right)$$

或

$$\begin{aligned}\frac{1}{\rho_{i,i}} &= \frac{1}{E_{nn}} \left[- \sum_{n=1}^{\infty} \gamma_{i,i} \frac{\partial \theta_i}{\partial y} \left(n, \frac{b^{nn}}{2} \right) \sin \frac{n\pi x}{l} + \sum_{n=1}^{\infty} \bar{\gamma}_{i,i} \frac{\partial \bar{\theta}_i}{\partial y} \left(n, \frac{b^{nn}}{2} \right) \sin \frac{n\pi x}{l} + \right. \\ &+ \mu \sum_{n=1}^{\infty} \gamma_{i,i} \frac{\partial \eta_i}{\partial y} \left(n, \frac{b^{nn}}{2} \right) \sin \frac{n\pi x}{l} - \mu \sum_{n=1}^{\infty} \bar{\gamma}_{i,i} \frac{\partial \bar{\eta}_i}{\partial y} \left(n, \frac{b^{nn}}{2} \right) \sin \frac{n\pi x}{l} + \\ &+ \sum_{n=1}^{\infty} \beta_{i,i} \frac{\partial \eta_i}{\partial y} \left(n, \frac{b^{nn}}{2} \right) \sin \frac{n\pi x}{l} + \sum_{n=1}^{\infty} \bar{\beta}_{i,i} \frac{\partial \bar{\eta}_i}{\partial y} \left(n, \frac{b^{nn}}{2} \right) \sin \frac{n\pi x}{l} - \\ &- \mu \sum_{n=1}^{\infty} \beta_{i,i} \frac{\partial \Psi_i}{\partial y} \left(n, \frac{b^{nn}}{2} \right) \sin \frac{n\pi x}{l} - \mu \sum_{n=1}^{\infty} \bar{\beta}_{i,i} \frac{\partial \bar{\Psi}_i}{\partial y} \left(n, \frac{b^{nn}}{2} \right) \sin \frac{n\pi x}{l} \left. \right].\end{aligned}$$

預先使肋和板的相應纖維的變形相等時，每肋得出四個方程式：

$$\begin{aligned}
\frac{N_1}{F_1 E_p} - \frac{M_1 a_1}{J_1^p E_p} + \frac{\delta_{i-1}}{E_p} \left[\frac{1}{F_1} + \frac{k_1 a_1^2}{J_1^p} \right] \int_0^\infty \sum_{n=1}^{\infty} (\gamma_{1,i-1} - \bar{\gamma}_{1,i-1}) \cos \frac{n\pi x}{l} dx + \\
+ \frac{\delta_i}{E_p} \left(\frac{1}{F_1} + \frac{k_1 a_1^2}{J_1^p} \right) \int_0^\infty \sum_{n=1}^{\infty} (\gamma_{1,i} + \bar{\gamma}_{1,i}) \cos \frac{n\pi x}{l} dx + \\
+ \frac{\delta_{i-1} \delta_i^p}{4J_1^p E_p} \int_0^\infty \sum_{n=1}^{\infty} (\gamma_{1,i-1} - \bar{\gamma}_{1,i-1}) \cos \frac{n\pi x}{l} dx - \\
- \frac{\delta_i \delta_i^p}{4J_1^p E_p} \int_0^\infty \sum_{n=1}^{\infty} (\gamma_{1,i} + \bar{\gamma}_{1,i}) \cos \frac{n\pi x}{l} dx - \\
- \frac{\delta_{i-1} \delta_i^p}{2J_1^p E_p} \left[x \int_0^\infty \sum_{n=1}^{\infty} (\beta_{1,i-1} - \bar{\beta}_{1,i-1}) \sin \frac{n\pi x}{l} dx - \right. \\
\left. - \int_0^\infty x \sum_{n=1}^{\infty} (\beta_{1,i-1} - \bar{\beta}_{1,i-1}) \sin \frac{n\pi x}{l} dx \right] + \\
+ \frac{\delta_i \delta_i^p}{2J_1^p E_p} \left[x \int_0^\infty \sum_{n=1}^{\infty} (\beta_{1,i} + \bar{\beta}_{1,i}) \sin \frac{n\pi x}{l} dx - \right. \\
\left. - \int_0^\infty x \sum_{n=1}^{\infty} (\beta_{1,i} + \bar{\beta}_{1,i}) \sin \frac{n\pi x}{l} dx \right] = \\
= \frac{1}{E_{nn}} \left[- \sum_{n=1}^{\infty} \gamma_{1,i-1} \theta_{i-1} \left(n, \frac{\delta_i n}{2} \right) \sin \frac{n\pi x}{l} + \right. \\
+ \sum_{n=1}^{\infty} \bar{\gamma}_{1,i-1} \bar{\theta}_{i-1} \left(n, \frac{\delta_i n}{2} \right) \sin \frac{n\pi x}{l} - \sum_{n=1}^{\infty} \beta_{1,i-1} \eta_{i-1} \left(n, \frac{\delta_i n}{2} \right) \sin \frac{n\pi x}{l} + \\
+ \sum_{n=1}^{\infty} \bar{\beta}_{1,i-1} \bar{\eta}_{i-1} \left(n, \frac{\delta_i n}{2} \right) \sin \frac{n\pi x}{l} + \mu \sum_{n=1}^{\infty} \beta_{1,i-1} \sin \frac{n\pi x}{l} - \\
\left. - \mu \sum_{n=1}^{\infty} \bar{\beta}_{1,i-1} \sin \frac{n\pi x}{l} \right]; \quad (1)
\end{aligned}$$

$$\frac{N_1}{F_1 E_p} - \frac{M_1 a_1}{J_1^p E_p} + \frac{\delta_{i-1}}{E_p} \left(\frac{1}{F_1} + \frac{k_1 a_1^2}{J_1^p} \right) \int_0^\infty \sum_{n=1}^{\infty} (\gamma_{1,i-1} - \bar{\gamma}_{1,i-1}) \cos \frac{n\pi x}{l} dx +$$

$$\begin{aligned}
& + \frac{\delta_1}{E_p} \left(\frac{1}{F_i} + \frac{E_i \alpha_i^2}{I_i^2} \right) \int_0^x \sum_{n=1}^{\infty} (\gamma_{i,i} + \bar{\gamma}_{i,i}) \cos \frac{n\pi x}{l} dx - \\
& - \frac{\delta_{i-1} b P^2}{4 I_i^2 E_p} \int_0^x \sum_{n=1}^{\infty} (\gamma_{i,i-1} - \bar{\gamma}_{i,i-1}) \cos \frac{n\pi x}{l} dx + \\
& + \frac{\delta_1 b P^2}{4 I_i^2 E_p} \int_0^x \sum_{n=1}^{\infty} (\gamma_{i,i} + \bar{\gamma}_{i,i}) \cos \frac{n\pi x}{l} dx + \frac{\delta_{i-1} b P}{2 I_i^2 E_p} \left[x \int_0^x \sum_{n=1}^{\infty} (\beta_{i,i-1} - \right. \\
& \left. - \bar{\beta}_{i,i-1}) \sin \frac{n\pi x}{l} dx - \int_0^x x \sum_{n=1}^{\infty} (\beta_{i,i-1} - \bar{\beta}_{i,i-1}) \sin \frac{n\pi x}{l} dx \right] - \\
& - \frac{\delta_1 b P}{2 I_i^2 E_p} \left[x \int_0^x \sum_{n=1}^{\infty} (\beta_{i,i} + \bar{\beta}_{i,i}) \sin \frac{n\pi x}{l} dx - \int_0^x x \sum_{n=1}^{\infty} \beta_{i,i} + \right. \\
& \left. + \bar{\beta}_{i,i}) \sin \frac{n\pi x}{l} dx \right] = \frac{1}{E_{ia}} \left[- \sum_{n=1}^{\infty} \gamma_{i,i} \theta_i \left(n, \frac{b n a}{2} \right) \sin \frac{n\pi x}{l} - \right. \\
& \left. - \sum_{n=1}^{\infty} \bar{\gamma}_{i,i} \bar{\theta}_i \left(n, \frac{b n a}{2} \right) \sin \frac{n\pi x}{l} - \sum_{n=1}^{\infty} \beta_{i,i} \eta_i \left(n, \frac{b n a}{2} \right) \sin \frac{n\pi x}{l} - \right. \\
& \left. - \sum_{n=1}^{\infty} \bar{\beta}_{i,i} \bar{\eta}_i \left(n, \frac{b n a}{2} \right) \sin \frac{n\pi x}{l} + \mu \sum_{n=1}^{\infty} \beta_{i,i} \sin \frac{n\pi x}{l} + \mu \sum_{n=1}^{\infty} \bar{\beta}_{i,i} \sin \frac{n\pi x}{l} \right]; \quad (2) \\
& \frac{\delta_{i-1} b P}{2 I_i^2 E_p} \int_0^x \sum_{n=1}^{\infty} (-\bar{\gamma}_{i,i-1} + \bar{\gamma}_{i,i-1}) \cos \frac{n\pi x}{l} dx + \frac{\delta_1 b P}{2 I_i^2 E_p} \int_0^x \sum_{n=1}^{\infty} \gamma_{i,i} + \\
& + \bar{\gamma}_{i,i}) \cos \frac{n\pi x}{l} dx + \frac{\delta_{i-1}}{I_i^2 E_p} \left[x \int_0^x \sum_{n=1}^{\infty} (\beta_{i,i-1} - \bar{\beta}_{i,i-1}) \sin \frac{n\pi x}{l} dx - \right. \\
& \left. - \int_0^x x \sum_{n=1}^{\infty} (\beta_{i,i-1} - \bar{\beta}_{i,i-1}) \sin \frac{n\pi x}{l} dx \right] - \frac{\delta_1}{I_i^2 E_p} \left[x \int_0^x \sum_{n=1}^{\infty} (\beta_{i,i} + \right. \\
& \left. + \bar{\beta}_{i,i}) \sin \frac{n\pi x}{l} dx - \int_0^x x \sum_{n=1}^{\infty} (\beta_{i,i} + \bar{\beta}_{i,i}) \sin \frac{n\pi x}{l} dx \right] = \\
& = \frac{1}{E_{ia}} \left[- \sum_{n=1}^{\infty} \gamma_{i,i} \frac{\partial \theta_i}{\partial y} \left(n, \frac{b n a}{2} \right) \sin \frac{n\pi x}{l} + \sum_{n=1}^{\infty} \bar{\gamma}_{i,i} \frac{\partial \bar{\theta}_i}{\partial y} \left(n, \frac{b n a}{2} \right) \sin \frac{n\pi x}{l} + \right]
\end{aligned}$$